

RuCl₂[(S)-P-Phos]-[(S)-DAIPEN]催化芳香酮的不对称加氢反应

姜 和¹ 王金波^{1,*} 熊 伟¹ 贾 云¹
秦瑞香¹ 刘德蓉¹ 陈 华^{2,*}

(¹重庆科技学院化学化工学院, 重庆 401331; ²四川大学化学学院, 绿色化学及技术教育部重点实验室, 成都 610064)

摘要: 研究了钌-双膦-二胺配合物催化剂 RuCl₂[(S)-P-Phos]-[(S)-DAIPEN] [P-Phos: 2,2',6,6'-四甲氧基-4,4'-双(二苯基膦基)-3,3'-二吡啶, DAIPEN: 1,1-二(4-甲氧苯基)-2-异丙基-1,2-乙二胺]催化芳香酮不对称加氢反应的性能, 考察了不同的碱、叔丁醇钾浓度、反应溶剂、底物/催化剂摩尔比等因素对反应活性和对映选择性的影响。在苯乙酮、叔丁醇钾、催化剂的摩尔比为 1000:20:1, 氢气压力为 2 MPa, 反应温度为 30 ℃时, 苯乙酮的转化率和 α-苯乙醇的对映选择性(ee)分别达到了 100% 和 88.5%, 2'-溴苯乙醇的 ee 值可达 97.1%。

关键词: 不对称加氢; 钌膦配合物; 手性二胺; 芳香酮

中图分类号: O643; O641

Asymmetric Hydrogenation of Aromatic Ketones Catalyzed by RuCl₂[(S)-P-Phos]-[(S)-DAIPEN]

JIANG He¹ WANG Jin-Bo^{1,*} XIONG Wei¹ JIA Yun¹ QIN Rui-Xiang¹
LIU De-Rong¹ CHEN Hua^{2,*}

(¹College of Chemistry & Chemical Engineering, Chongqing University of Science and Technology, Chongqing 401331, P. R. China; ²Key Laboratory of Green Chemistry and Technology, Ministry of Education, College of Chemistry, Sichuan University, Chengdu 610064, P. R. China)

Abstract: A ruthenium phosphine diamine complex RuCl₂[(S)-P-Phos]-[(S)-DAIPEN] [P-Phos: 2,2',6,6'-tetramethoxy-4,4'-bis(diphenylphosphino)-3,3'-bipyridine, DAIPEN: 1,1'-di(4-anisyl)-2-iopropyl-1,2-ethylenediamine] for the asymmetric hydrogenation of aromatic ketones has been studied. The influences of different bases, (CH₃)₃COK concentration, organic solvent, and molar ratio of substrate to catalyst on activity and enantioselectivity were investigated. Under the following optimum conditions: $n(\text{ketone}):n(\text{KOH}):n(\text{catalyst})=1000:20:1$, $p_{\text{H}_2}=2 \text{ MPa}$ and $T=30 \text{ }^\circ\text{C}$, the conversion of acetophenone and the enantioselectivity (ee) of *S*-1-phenylethanol was 100% and 88.5%, respectively. Additionally, the ee value of 2'-bromophenyl ethanol was 97.1%.

Key Words: Asymmetric hydrogenation; Ruthenium-phosphine complex; Chiral diamine; Aromatic ketones

酮的不对称加氢是合成手性仲醇的重要方法。Noyori 等^[1-2]发现的钌-双膦-二胺 RuCl₂[(S)-XylBINAP]-[(S)-DAIPEN] [XylBINAP: 2,2'-二[二(3,5-二甲基苯基)膦基]-1,1'-联萘, DAIPEN: 1,1-二(4-甲

氧苯基)-2-异丙基-1,2-乙二胺]催化体系使简单酮的高活性和高对映选择性(ee)加氢获得了突破性的进展。近年来, 对手性双膦^[3-9]和手性二胺^[6,10-12]的研究已成为不对称催化领域的研究热点。文献[8,13]报

Received: September 4, 2009; Revised: October 26, 2009; Published on Web: December 29, 2009.

*Corresponding authors. Email: scuhchen@163.com, wjb76@163.com; Tel: +86-28-85412904, +86-23-65023753.

The project was supported by the Natural Science Foundation of Education Commission of Chongqing, China (KJ081402) and “Chunhui Project” from the Ministry of Education of China (Z2007-1-63016).

重庆市教委基金(KJ081402)和教育部“春晖计划”(Z2007-1-63016)资助项目

道的联吡啶双膦配体对氧不敏感,在不饱和化合物加氢中表现出优异的催化性能,对映选择性高达99.9%,其中以Xyl-P-Phos最为优秀。在以(R)-P-Phos为配体的催化剂RuCl₂[(R)-P-Phos][(R,R)-DPEN][P-Phos:2,2',6,6'-四甲氧基-4,4'-二(二苯基膦)-3,3'-联吡啶,DPEN:1,2-二苯基-1,2-乙二胺]催化苯乙酮的不对称加氢时,获得了83.3%的对映选择性^[8]。

为了提高反应的对映选择性,本文选用手性二胺(S)-DAIPEN为手性二胺配体,与(S)-P-Phos形成钌-膦-二胺配合物后研究了芳香酮的不对称加氢反应,并考察了不同的碱、叔丁醇钾浓度、反应溶剂、底物/催化剂摩尔比等因素对加氢反应的影响。结果表明,(S)-DAIPEN表现出了比(R,R)-DPEN更好的手性诱导作用,RuCl₂[(S)-P-Phos][(S)-DAIPEN]催化苯乙酮的对映选择性达到88.5%。

1 实验部分

1.1 RuCl₂[(S)-P-Phos]-[(S)-DAIPEN]的合成^[3,13-15]

在氮气保护下,将25.2 mg(0.05 mmol)[RuCl₂·(C₆H₆)₂]和64.4 mg(0.1 mmol)(S)-P-Phos(香港理工大学手性技术开放实验室提供)和1 mL二甲基甲酰胺(DMF)加入两颈瓶中,并在100 ℃下搅拌反应1 h,得棕红色透明液。冷却至室温,氮气气氛下加入24.2 mg(0.1 mmol)(S)-DAIPEN(四川大学有机金属络合催化研究所提供),搅拌过夜,真空蒸干DMF,然后加入2 mL二氯甲烷溶解、过滤,真空干燥得62 mg RuCl₂[(S)-P-Phos]-[(S)-DAIPEN](浅棕色,收率60%),未进一步纯化直接用于不对称加氢反应。RuCl₂[(S)-P-Phos]-[(S)-DAIPEN]的³¹P NMR用Bruker AM-400型核磁共振仪测定,四甲基硅烷(TMS)作内标(CDCl₃, δ: d, 46.86, 46.70。其结构式见图1。

1.2 苯乙酮的不对称加氢反应

氮气保护下,将苯乙酮(Acros,>98%)、RuCl₂[(S)-P-Phos]-[(S)-DAIPEN]、叔丁醇钾的异丙醇溶液及异

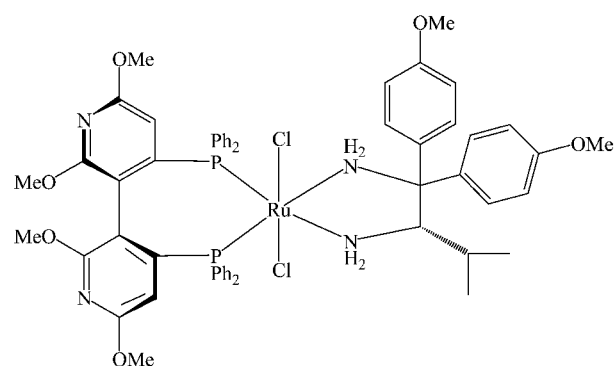


图1 RuCl₂[(S)-P-Phos]-[(S)-DAIPEN]的结构式
Fig.1 Structure of RuCl₂[(S)-P-Phos]-[(S)-DAIPEN]

丙醇加入高压反应釜中,用氢气置换5次,后充氢气至设定压力,升温搅拌反应。反应结束,冷却至室温后卸压,反应液用GC-960气相色谱分析。反应式见图2。

1.3 产物分析

芳香酮加氢转化率和产物的ee值用GC-960气相色谱仪分析(上海海欣色谱仪器有限公司,氢火焰离子化检测器(FID),毛细管色谱柱: β -CDTM column, ϕ 0.25 mm×30 m×0.15 μm)。

2 结果与讨论

2.1 碱对苯乙酮不对称加氢反应的影响

在简单酮的不对称加氢反应中,碱对催化剂的活性影响较大。在文献[16]报道的钌-膦-二胺催化的苯乙酮不对称加氢反应中,碱金属阳离子参与催化循环,其反应活性随Li⁺<Na⁺<K⁺依次增强。因此,首先考察了碱对苯乙酮不对称加氢反应的影响,结果见表1。从表1的数据可以看出,碱金属氢氧化物的活性规律与文献[18]相符,以KOH的反应活性和对映选择性为最高,分别达到了99.5%和85.1%。此外,阴离子对反应活性也有明显的影响。采用K₂CO₃时,苯乙酮的转化率仅有5.4%,而用(CH₃)₃COK作碱性助剂时,转化率达到100%,对映选择性也达到了

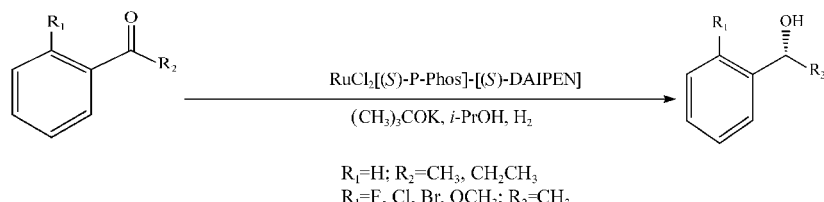


图2 芳香酮的不对称加氢反应
Fig.2 Asymmetric hydrogenation of aromatic ketones

表 1 碱对苯乙酮不对称加氢反应的影响
Table 1 Effect of base on the asymmetric hydrogenation of acetophenone

Base	Conversion (%)	ee (%)	Configuration
LiOH	50.5	80.2	R
NaOH	72.2	80.5	R
KOH	99.5	85.1	R
K ₂ CO ₃	5.4	78.6	R
(CH ₃) ₃ COK	100	87.6	R

reaction conditions: $n(\text{acetophenone}):n(\text{base}):n(\text{catalyst})=1000:20:1$, acetophenone: 1 mmol; $V(i\text{-PrOH})=2.0 \text{ mL}$; $p_{\text{H}_2}=2 \text{ MPa}$; $T=30^\circ\text{C}$; $t=12 \text{ h}$
 ee: enantioselectivity

87.6% 的最高值。实验数据表明, 随着碱性增强, 催化活性明显提高, 对映选择性也有上升的趋势, 该结果与强碱有利于催化活性物种二氢化物的生成(碱吸收生成的 HCl)^[17]有关。

2.2 底物与碱的配比对苯乙酮不对称加氢反应的影响

表 2 为苯乙酮与 RuCl₂[(S)-P-Phos]-[(S)-DAIPEN] 的摩尔比为 1000:1 的条件下, (CH₃)₃COK 用量对苯乙酮不对称加氢反应的活性和对映选择性的影响。可以看出, 随着(CH₃)₃COK 浓度的增加, 催化剂的催化活性和对映选择性有较为明显的提高。在(CH₃)₃COK 与苯乙酮的物质的量比为 1:50 时, 底物的转化率和产物的 ee 值达到最大值, 分别为 100% 和 87.6%。再增加碱的浓度, 产物的对映选择性开始下降, 当(CH₃)₃COK 与苯乙酮的物质的量比为 1:12.5 时, 反应的转化率和对映选择性有明显的降低。

在一定范围内, 碱浓度的提高有利于催化活性物种的快速生成, 提高了反应的转化率。但过高的(CH₃)₃COK 浓度, 容易使苯乙酮发生副反应, 降低催化剂的催化性能。

2.3 不同溶剂对反应的影响

芳香酮的不对称催化加氢反应一般以异丙醇为

表 2 (CH₃)₃COK 浓度对苯乙酮不对称加氢反应的影响

Table 2 Effect of (CH₃)₃COK concentration on the asymmetric hydrogenation of acetophenone

$n((\text{CH}_3)_3\text{COK}):n(\text{acetophenone})$	Conversion (%)	ee (%)	Configuration
1:100	40.5	77.5	R
1:75	86.3	83.7	R
1:50	100	87.6	R
1:25	100	85.3	R
1:12.5	25.5	63.7	R

The reaction conditions are the same as those in Table 1 except for the concentration of base.

表 3 溶剂对苯乙酮不对称加氢反应的影响

Table 3 Effect of solvent on the asymmetric hydrogenation of acetophenone

Solvent	t/h	Conversion (%)	ee (%)	Configuration
CH ₃ OH	10	11.5	20.7	R
C ₂ H ₅ OH	10	82.3	88.4	R
C ₂ H ₅ OH	12	100	88.5	R
i-PrOH	10	90.7	87.8	R
i-PrOH	12	100	87.6	R
n-BuOH	10	100	85.6	R

The reaction conditions are the same as those in Table 2 except for solvent and time.

溶剂, 在乙醇、甲醇等醇类溶剂中反应非常缓慢^[20]。本文以碳链不同的醇为研究对象, 考察了其对苯乙酮不对称催化加氢反应的影响, 结果列于表 3。由表 3 可看出, 在不同的醇溶剂中, 随着醇分子碳链的增长, 活性呈现增加趋势。在甲醇溶剂中反应 10 h, 转化率仅 11.5%, 而乙醇达到 82.3%, 异丙醇达到 90.7%, 正丁醇可达 100%。并且醇溶剂对反应的对映选择性也有影响, 在甲醇中, 产物的 ee 值仅 20.7%, 在乙醇中对映选择性最高, 达到 88.5%, 在异丙醇和正丁醇中对映选择性略有降低。

2.4 底物和催化剂的摩尔比对反应的影响

表 4 列出了反应底物和催化剂摩尔比变化对反应的影响。由表 4 的结果可见, 随着底物与催化剂摩尔比的增大, 延长反应时间都能使苯乙酮转化完, 生成苯乙醇的对映选择性基本保持不变。

2.5 苯乙酮衍生物的不对称加氢反应

RuCl₂[(S)-P-Phos]-[(S)-DAIPEN]催化苯乙酮衍生物的不对称加氢反应结果见表 5。在邻位含 F、Cl、Br 三种卤素取代基的苯乙酮中, 反应的催化活性随取代基吸电能力的减弱而增强。根据 Noyori 的双功能催化机理^[1], 羰基的极性越强, 越易与二氢活性物种接触, 催化活性也就越高。当邻位为甲氧基时, 虽为供电基, 但空间位阻可能起了主要作用, 导致催化

表 4 底物(S)和催化剂(C)的摩尔比对苯乙酮不对称加氢反应的影响

Table 4 Effect of the molar ratio of substrate (S) to catalyst (C) on the asymmetric hydrogenation of acetophenone

$n(\text{S}):n(\text{C})$	t/h	Conversion (%)	ee (%)	Configuration
1000:1	12	100	88.5	R
2000:1	14	100	88.2	R
5000:1	16	100	88.0	R
10000:1	32	100	87.4	R

Reaction conditions: $n(\text{acetophenone}):n((\text{CH}_3)_3\text{COK})=50:1$, the other conditions are the same as those in Table 2.

表 5 苯乙酮衍生物的不对称加氢反应
Table 5 Asymmetric hydrogenation of substituted acetophenone

Substrate	Conversion (%)	ee (%)	Configuration
acetophenone	100	88.5	R
propiophenone	55.6	80.3	R
2'-fluoroacetophenone	60.5	69.5	R
2'-chloroacetophenone	90.0	87.2	R
2'-bromoacetophenone	100	97.1	R
2'-methoxyacetophenone	100	81.8	S

reaction conditions: $n(\text{substrate}):n((\text{CH}_3)_3\text{COK}):n(\text{catalyst})=1000:20:1$, substrate: 1 mmol; $V(\text{ethanol})=2.0 \text{ mL}$; $p_{\text{H}_2}=2 \text{ MPa}$; $T=30^\circ\text{C}$; $t=12 \text{ h}$

活性不高。在取代苯乙酮的不对称加氢反应中, 溴代苯乙酮获得了较高的对映选择性, 这一规律和 Noyori^[1]与 Zhang^[18]等研究的结果相一致。

3 结 论

以新型钉膦二胺络合物 $\text{RuCl}_2[(S)\text{-P-Phos}]\text{-}[(S)\text{-DAIPEN}]$ 为催化剂, 研究了其催化芳香酮的不对称加氢反应。在苯乙酮:叔丁醇钾:催化剂的摩尔比为 1000:20:1, 氢气压力为 2 MPa, 反应温度为 30 ℃时, 苯乙酮的转化率和 α -苯乙醇的对映选择性(ee)分别达到了 100% 和 88.5%。邻溴苯乙酮加氢产物的 ee 值达到了 97.1%。 (S) -DAIPEN 表现出了比 (R, R) -DPEN 更好的手性诱导作用。

References

- Noyori, R.; Ohkuma, T. *Angew. Chem. Int. Edit.*, **2001**, *40*: 40
- Noyori, R. *Angew. Chem. Int. Edit.*, **2002**, *41*: 2008
- Ohkuma, T.; Koizumi, M.; Doucet, H.; Pham, T.; Kozawa, M.; Murata, K.; Katayama, E.; Yokozawa, T.; Ikariya, T.; Noyori, R. *J. Am. Chem. Soc.*, **1998**, *120*: 13529
- Henschke, J. P.; Antonio, Z. G.; Moran, P.; Harrison, P.; Mullen, B.; Gasy, G.; Lennon, I. C. A. *Tetrahedron Letters*, **2003**, *44*: 4379
- Burk, M. J.; Hems, W.; Herzberg, D.; Malan, C.; Zanotti-Gerosa, A. *Org. Lett.*, **2000**, *2*: 4173
- Xie, J. H.; Wang, L. X.; Fu, Y.; Zhu, S. F.; Fan, B. M.; Duan, H. F.; Zhou, Q. L. *J. Am. Chem. Soc.*, **2003**, *125*: 4404
- Wu, J.; Chen, H.; Kwok, W.; Guo, R.; Zhou, Z.; Yeung, C. H.; Chan, A. S. C. *J. Org. Chem.*, **2002**, *67*: 7908
- Xu, Y.; Docherty, G. F.; Woodward, G.; Willsa, M. *Tetrahedron: Asymmetry*, **2006**, *17*: 2925
- Doherty, S.; Knight, J. G.; Bell, A. L.; Harrington, R. W.; Clegg, W. *Organometallics*, **2007**, *26*: 2465
- Pini, D.; Iuliano, A.; Rosini, C.; Salvadori, P. *Synthesis*, **1990**: 1023
- Karame, L.; Jahjah M.; Messaoudi, A.; Tommasino, M. L.; Lemaire, M. *Tetrahedron: Asymmetry*, **2004**, *15*: 1569
- Henschke, J. P.; Burk, M. J.; Malan, C. G.; Herzberg, D.; Peterson, J. A.; Wildsmith, A. J.; Cobley, C. J.; Casy, G. *Adv. Synth. Catal.*, **2003**, *345*: 300
- Wu, J.; Ji, J. X.; Guo, R.; Yeung, C. H.; Chan, A. S. C. *Chem. Eur. J.*, **2003**, *9*: 2963
- Gabriela, A. G.; Zanotti-Gerosa, A.; Hems, W. P. *J. Organomet. Chem.*, **2006**, *691*: 2332
- Gabriela, A. G.; Zanotti-Gerosa, A.; Medlock, J. A.; Hems, W. P. *Org. Lett.*, **2005**, *7*: 1449
- Hartmann, R.; Chen, P. *Angew. Chem. Int. Edit.*, **2001**, *40*: 3581
- Ohkuma, T.; Ooka, H.; Hashiguchi, S.; Ikariya, T.; Noyori, R. *J. Am. Chem. Soc.*, **1995**, *117*: 2675
- Cao, P.; Zhang, X. *J. Org. Chem.*, **1999**, *64*: 2127